



افزایش استهلاک انرژی در مهاربند همگرا با استفاده از صفحه اتصال سوراخ دار

عبدالله چراغی^۱، سید مهدی زهرائی^{۲*}

۱- دانشجوی دکترای سازه، گروه مهندسی عمران، دانشگاه آزاد اسلامی (واحد اراک)

۲- استاد، دانشکده مهندسی عمران، دانشگاه تهران

(دریافت ۱۳۹۳/۶/۱۹، پذیرش ۱۳۹۳/۱۰/۱۶)

چکیده

مهاربندهای هم محور از جمله عناصر متداول در تأمین سختی و مقاومت جانبی سازه‌ها هستند که در مقایسه با قاب‌های خمشی و مهاربندهای برون محور، از استهلاک انرژی و شکل‌پذیری کمتری برخوردار هستند. عیوب موجود سبب شدند تا تحقیقات و مطالعات فراوانی طی سال‌های اخیر برای بهبود شکل‌پذیری و تأمین عملکرد لرزه‌ای مناسب این بادبندها توسط محققین مختلف و با بکارگیری تمهیداتی انجام گیرد که بعضًا نتایج مثبت و قابل تأملی در پی داشته‌اند. در این مقاله با ایجاد سوراخی در صفحه اتصال میانی یا کناری چند نمونه مهاربند قطری و ضربدری، سعی در تأمین شکل‌پذیری و بهبود عملکرد چرخه‌ای آن‌ها گردید و عملکرد آن‌ها با انجام تحلیل‌های استاتیکی غیرخطی با استفاده از نرم‌افزار اجزای محدود ABAQUS بررسی شد. اساس کارکرد روش ارائه شده در جلوگیری از کمانش مهاربندها بوده و بتایراین سوراخ‌های ایجاد شده باید به نحوی طراحی گردد که قبل از آن که مهاربند به بار بحرانی کمانشی خود برسد، به تسليم رسیده و به جذب و استهلاک انرژی زلزله کمک نماید. نتایج تحلیل گویای متحننی‌های پسماند پایدارتر و افزایش جذب انرژی طی بارگذاری چرخه‌ای در نمونه‌های پیشنهادی نهایی و نیز تعویق در وقوع کمانش در عضو اصلی مهاربند است؛ به طوری که در متحننی پسماند نمونه‌های منتخب تا تغییر مکان حدود ۲ سانتی‌متر نیز افت عملکردی دیده نمی‌شود. اما مهاربند معمولی در تغییر مکان چرخه‌ای کمتر از ۱ سانتی‌متر دچار کمانش شده و افت عملکرد آن مشهود است. همچنین کاهش سختی حدود ۸ تا ۵۷ درصد و افزایش ۱۲ تا ۱۷ درصدی در میزان میرایی معادل از مزایای آن است.

کلمات کلیدی:

برای ارجاع به این مقاله از عبارت زیر استفاده کنید:

Please cite this article using:

Cheraghi, A., and Zahrai, S. M., 2016. "Energy Dissipation Improvement in CBFs Using Perforated Gusset Plates". *Amirkabir Journal of Civil and Environmental Engineering*, 48(3), pp. 339-349.

DOI: 10.22060/ceej.2016.616

URL: http://ceej.aut.ac.ir/article_616.html

نویسنده مسئول و عهده دار مکاتبات: E-mail: mzahrai@ut.ac.ir



۱- مقدمه

مهاربندهای همگرا از جمله عناصر متداول در تأمین سختی و مقاومت جانبی سازه ها هستند که در مقایسه با سایر عناصر باربر جانبی (از جمله قاب های خمشی و مهاربندهای برون محور) از استهلاک انرژی و شکل پذیری کمتری برخوردارند. عیوب موجود سبب شدن تا تحقیقات و مطالعات فراوانی طی سال های اخیر برای بهبود شکل پذیری و تأمین عملکرد لرزه ای مناسب این بادبندها توسط محققین مختلف انجام گیرد که بعضاً نتایج مثبت و قابل تأمل را در پی داشته اند. معمولاً اساس کارکرد تمامی روش های ارائه شده در جلوگیری از کمانش مهاربندها بوده و سعی برآن است که قبل از آن که مهاربند به بار بحرانی کمانشی خود برسد، به تسلیم رسیده و در جذب و استهلاک انرژی زلزله مشارکت نمایند. همچنین معمولاً طراحی به گونه ای است که عضو جاری شونده قسمت قابل توجهی از انرژی ورودی به سازه را با ورود به مرحله غیرخطی و تشکیل مفاصل پلاستیک مستهلك نموده و از ورود سایر اعضای سازه به مرحله غیرخطی و همچنین کمانش اعضای مهاربند جلوگیری نماید. یک نقص اصلی در عملکرد بادبندهای هم مرکز، کمانش بادبند فشاری قبل از تسلیم و جذب انرژی ناکافی است. ایده استفاده از قطعات اتصال انرژی از جمله مواردی بوده که به طور گسترده برای اصلاح رفتار لرزه ای این گونه مهاربندها مورد توجه قرار گرفته است.

رضایی و همکاران [۱] با بررسی های آزمایشگاهی به ارزیابی رفتار مهاربندهای همگرا با استفاده از قطعه شکل پذیر و به منظور استهلاک انرژی بیشتر پرداختند. طراحی قطعه گفته شده در عضو مهاری به گونه ای است که قبل از کمانش مهاربندها به تسلیم برسد.

له و همکاران [۲] به منظور رفع مشکل ضعف اتصالات تیر به ستون در برابر زلزله، اتصال سازه ای با میراگر شکافدار را پیشنهاد نمودند. نتایج تحلیل آن ها تحت بارگذاری چرخه ای گویای رفتار پسمند^۱ مناسب اتصال مجهز به میراگرهای شکافدار است. در تحقیق دیگر، کوکن و کروگلو [۳] با استفاده از مطالعات آزمایشگاهی در مقیاس واقعی، نوعی اتصال جدید مجهز به میراگر شکافدار و میراگر لاستیکی را مورد ارزیابی قرار دادند. نتایج آزمایش حاکی از آن است که رفتار شکل پذیر اتصال موجب تمرکز استهلاک انرژی و تغییر شکل های پلاستیک در خود و مانع از انتقال آن به تیر و ستون شده است.

چان و آلبرمانی [۴] تحقیقاتی را بر روی مدلسازی رفتار میراگرهای شکافدار فولادی انجام دادند. این نوع میراگرهای از جمله سامانه های اتصال انرژی هستند که در قسمت زیرین اتصالات صلب تیر به ستون و یا در اتصال مهاربندهای شورن (هفت یا هشت) به تیر فولادی به کار برده می شوند. با استفاده از این سیستم می توان ضمن ممانعت از کمانش موضعی ورق ها در محل اتصال، استهلاک انرژی مطلوبی را نیز ایجاد نمود. نوارهای فولادی با توجه به تغییر شکل های اعمالی ناشی از تحریکات جانبی و ابعاد شکاف ها، تشکیل مفاصل پلاستیک خمشی یا

¹ Hysteresis

برشی داده و با افزایش تغییر شکل ها و پیشروی در ناحیه غیر ارجاعی، رفتار پسمند مطلوبی را از خود بروز می دهند.

کلیمنت و همکاران [۵] در تحقیق دیگری با انجام مطالعات آزمایشگاهی بر روی صفحات فولادی شکافدار، روابطی را برای تخمین انرژی تلف شده توسط این المان ها بر مبنای شکل پذیری آن ها ارائه کردند. آن ها نشان دادند که نوارهای فولادی با ارتفاع بیشتر و عرض کمتر، انعطاف پیشتری دارند و نوارهای با ارتفاع کمتر و پهنای بیشتر، از سختی بیشتری برخوردارند و با سرعت بیشتری به اتصال انرژی می پردازند.

فرانکو و همکاران [۶] با ارائه ایده ای نوین، به مطالعه رفتار یک نوع میراگر فلزی جاری شونده پرداختند. این میراگر بر مبنای خواص پلاستیستیه فلزات تحت اثر تنفس تماسی ناشی از پیچش شکل گرفته است. این میراگر از یک لوله با مقاطع مختلف تشکیل شده است؛ به طوری که قسمت های انتهایی و میانی آن دارای یک سطح مقطع ثابت بوده و در نواحی میانی بین تکیه گاهها، ضخامت و قطر لوله برای استهلاک انرژی کاهش می یابد. با استفاده از مکانیزم مذکور تغییر مکان های لوله محدود شده و تنها اجازه پیچش خواهد یافت. مقاومت خستگی بالا و تأخیر رخداد کمانش در نواحی تسلیمی از مزایای عضو مذکور است. ملکی و باقری [۷] با مطالعه رفتار لوله های فولادی توالی و پر شده با بتن، به بررسی امکان استفاده از این ابزارها به عنوان میراگر پسمند لرزه ای تحت تنفس برشی پرداختند. نتایج تحلیل های اجزای محدود حاکی از آن است که سختی و مقاومت میراگر لوله ای با افزایش طول لوله به صورت خطی و با افزایش ضخامت و کاهش قطر آن، به شکل غیرخطی افزایش خواهد یافت. لوله های فولادی پر شده با بتن با بروز رفتار غیرشکل پذیر ناشی از شکست بتن دچار گسیختگی شده و رفتار پسمند مطلوب و پایداری را از خود نشان نمی دهند. در حالی که لوله های فولادی توالی همانند شکل پایدار خود از ظرفیت بالایی در جذب و استهلاک انرژی برخوردار بوده و میرایی ویسکوز معادل بزرگی در برابر تحریکات لرزه ای ایجاد می نمایند. میراگر حلقوی برای اولین بار توسط مالک پیشنهاد شد. این میراگر از یک حلقة با سطح مقطع مربعی از ورق های فولادی تشکیل شده و در محل تقاطع اعضای مهاربندهای همگرا نصب می گردد.

مالک و همکاران [۸] رفتار تک آهنگ و چرخه ای مدل میراگر حلقوی را با مدلسازی اجزای محدود بررسی نمودند. منحنی های پسمند پایدار بیانگر رفتار مناسب و قابلیت استهلاک انرژی بالای آن است. تمرکز تنفس در نزدیکی محل اتصال مهاربندها به میراگر سبب بروز کمانش های موضعی در این نواحی می گردد. با طراحی صحیح ابعاد این سیستم و نیز نسبت عرض به ضخامت ورق های تشکیل دهنده آن می توان اتصال اتصالات آکار دنونی انرژی بالایی را در تغییر مکان های کم ایجاد نمود. اتصالات آکار دنونی نیز از جمله ایده های ارائه شده در بهسازی رفتار مهاربندهای همگرا است. رفتار این میراگرهای توسط معتمدی و همکاران [۹] مورد ارزیابی واقع شد. آن ها با مطالعه یک قاب یک طبقه و یک دهانه فولادی در دو حالت قاب تنها و قاب مجهز به میراگر آکار دنونی، تأثیر الحاق آن را بر قاب

و تغییر شکل آن، سعی در اصلاح رفتار مهاربندهای همگرا گردیده است. ظرفیت خمثی صفحه اتصال که متأثر از قطر سوراخ و نیز نسبت قطر سوراخ به عرض ورق است، به گونه‌ای انتخاب شده که کمتر از ظرفیت کمانشی عضو فشاری باشد و عملاً احتمال وقوع کمانش در عضو اصلی متغیر گردد. تغییر شکل سوراخ دایره‌ای تحت بارگذاری چرخه‌ای سبب اقلاف انرژی و تمرکز خسارت در این ناحیه شده و در صورت طراحی و اجرای مناسب، تضمین‌کننده رفتار مناسب‌تر قاب خواهد بود. برای انتخاب صحیح نسبت قطر سوراخ به عرض ورق که از این پس D/B نامیده می‌شود، لازم است تا در ابتدا ظرفیت کمانشی عضو مهاربند محاسبه و سپس کامنش سطح مقطع لازم تعیین گردد. انتخاب صحیح نسبت مذکور از مراحل تأثیرگذار بوده به طوری که در صورت افزایش نسبت D/B از میزان بهینه، انعطاف‌پذیری بیش از حد مقطع موجب کاهش شدید سختی و عملکرد نامطلوب بوده و در صورت کاهش نسبت D/B از حد بهینه، عملاً اتصال پیشنهادی مؤثر نبوده و کمانش مهاربند تحت نیروی فشاری موجب افت عملکرد سیستم می‌گردد. در صورت طراحی مناسب انتظار می‌رود تا صفحه اتصال نقش فیوز را داشته و از کمانش عضو اصلی جلوگیری نماید. ایده اصلی تحقیق در شکل (۱) ارائه گردیده است.

در این تحقیق شش مدل مهاربند قطعی و دو مدل مهاربند ضربدری به شرح جدول (۱) مورد آزمایش قرار گرفتند. به دلیل سادگی بیشتر رفتار مهاربند قطعی و اعمال نیروی کششی یا فشاری صرف در هر چرخه بارگذاری و برای آزمایش امکان استفاده از اتصال پیشنهادی، در ابتدا رفتار عضو در شش نمونه مهاربند قطعی ارزیابی شد و پس از حصول اطمینان از عملکرد آن، نمونه برتر در مهاربند ضربدری نیز بررسی گردید. مقطع مهاربند در کلیه نمونه‌ها از ترکیب دو پروفیل ناوادانی نمره ۱۴ به عنوان مقطعی پرکاربرد و متداول در سازه به صورت قوطی‌شکل انتخاب گردید. برای بررسی رفتار لرزه‌ای مهاربند معمولی در بارگذاری چرخه‌ای، مهاربند قطعی از مقطع ۲UNP14 در نمونه اول بدون هیچ گونه تغییر خاص، مدلسازی و مورد ارزیابی قرار گرفت. در مدل‌های دوم تا پنجم با ایجاد سوراخ دایروی با قطرهای ۲۰ و ۳۰ سانتی‌متر بر روی ورق اتصال وسط مهاربند، رفتار آن تحت بارگذاری چرخه‌ای ارزیابی شد. گفتنی است که تأثیر سخت‌کننده بر روی ورق اتصال وسط مهاربند در اطراف سوراخ دایروی در مدل‌های چهارم و پنجم مورد بررسی قرار گرفته است. انتظار می‌رفت تا ایجاد سوراخ در ورق اتصال سبب بهبود عملکرد لرزه‌ای مهاربند شده و با تغییر شکل خود تحت بارگذاری زلزله به عنوان عضو مستهلك کننده انرژی برای کاهش سختی، کاهش برش‌پایه و در نتیجه کاهش تنش در اعضای اصلی در رفتار لرزه‌ای قاب مؤثر واقع گردد. همچنین انتظار آن می‌رفت تا سخت‌کننده‌های نصب شده در اطراف بازشوی ورق اتصال سبب جلوگیری از پارگی این قسمت و بهبود عملکرد آن گردد. ناحیه کاهش پایه در نمونه ششم به درون صفحه اتصال کناری انتقال یافته و مورد ارزیابی قرار گرفت. نمونه‌های هفتم

مورد ارزیابی قرار دادند. این المان‌ها در مقایسه با لوله‌های جدار نازک از پتانسیل بالایی در تشکیل مفاصل پلاستیک برخوردار هستند. با هدایت مود کمانشی به سمت الگوی آکاردنونی، حداکثر لنگر خمثی تحت بار محوری در نقاط بالا و پایین موج‌ها پدید آمده و با بروز کرنش‌های پلاستیک در سراسر لوله، انرژی ورودی به سازه را مستهلك می‌نماید. مشخصات هندسی ورق‌ها از قبیل طول، شعاع، ضخامت لوله و نیز شعاع خم و زاویه ورق‌ها از عوامل تأثیرگذار بوده و باید مورد توجه قرار گیرند. نتایج تحقیق حاکی از افزایش میزان انرژی تلف شده و نیز میزان میرایی معادل است.

در تحقیقی دیگر، عباس‌نیا و همکاران [۱۰] در مطالعاتی به بررسی بهبود رفتار مهاربندهای هم محور با استفاده از حلقه فولادی پرداختند. طراحی میراگر حلقه متأثر از نیروی مهاربند بوده و باید قبل از وقوع کمانش عضو فشاری تحت تحریکات لرزه‌ای وارد مرحله غیرالاستیک شده و جذب انرژی نماید. نتایج ارزیابی المان محدود با مطالعه رفتار حلقه فولادی در یک مهاربند قطعی نشان داد که این حلقه به عنوان یک عضو شکل‌پذیر دارای عملکرد مناسب بوده و موجب بهبود رفتار مهاربند می‌شود. اصلاح رفتار مهاربند همگرا با استفاده از نوعی اتصالات مفصلی خاص توسط تیرکا و همکاران [۱۱] مورد بررسی قرار گرفت. نتایج حاکی از بهبود عملکرد لرزه‌ای مهاربند با تکیه بر تمرکز مفاصل پلاستیک در اتصالات و الاستیک ماندن رفتار عضو اصلی مهاربند داشت.

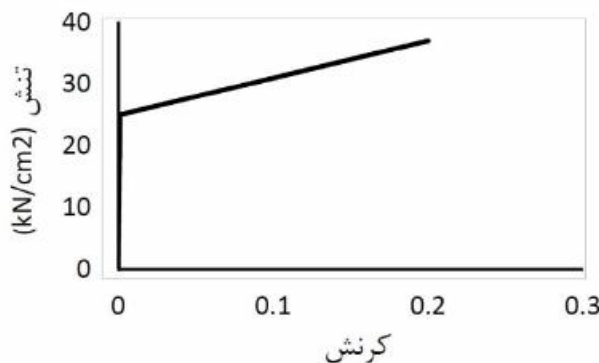
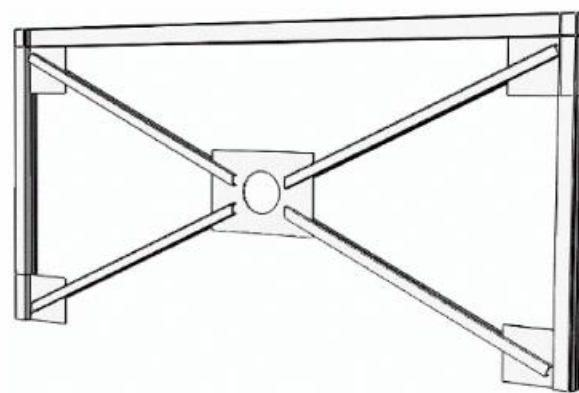
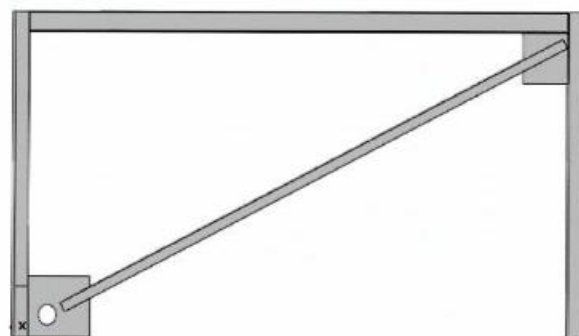
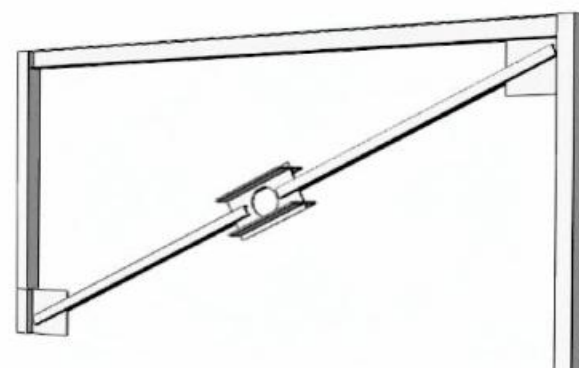
احمدی و همکاران در تحقیقی دیگر، میراگر پیماند نوینی را با استفاده از تعدادی صفحات دایره‌ای شکل دندانه‌دار که حول محور لوله گذرنده از مرکز دوران می‌کنند، ارائه نمودند. میله فولادی از یکسو به اعضای مهاربندی و از طرف دیگر به تیر بالایی قاب متصل بوده و روش کار آن بر پایه استهلاک انرژی بر مبنای استفاده از سازوکار خمث و لهیبدگی در صفحات فولادی است. همچنین نتایج تحلیلی گویای عملکرد مناسب آن‌ها و پایداری منحنی‌های پیماند بوده که حاکی از اتلاف انرژی مناسب این سیستم است [۱۲]. تحقیقاتی از این دست برای بهبود عملکرد لرزه‌ای و شکل‌پذیری مهاربندهای همگرا همواره در حال انجام بوده و در مقاله حاضر نیز به یکی از این موارد ابتکاری پرداخته شده است.

۳- دیدگاه کلی تحقیق

با بررسی انجام گرفته بر روی رفتار مهاربندهای هم محور ملاحظه می‌گردد که شکل‌پذیری و عملکرد لرزه‌ای آن‌ها به شدت تحت تأثیر رفتار عضو فشاری بوده و کاهش شدید سختی و مقاومت پس از کمانش المان فشاری سبب افت محسوس عملکرد آن طی بارگذاری چرخه‌ای می‌گردد. بنابراین اتخاذ راهکاری برای جلوگیری از کمانش عضو و یا به تأخیر انداختن آن سبب بهبود شکل‌پذیری آن خواهد شد. در این مقاله با ایجاد سوراخ در صفحه اتصال میانی یا کناری مهاربند به منظور ایجاد نقطه ضعفی از پیش تعیین شده و استفاده از ظرفیت جذب انرژی در اثر اعوجاج

جدول (۱): نمونه های به کار رفته در تحلیل

DIB	نسبت	خصوصیات نمونه	قطع مهاربند	ارتفاع	طول	نمونه ها
-		معمولی	2UNP14	۳	۵	نمونه ۱ قطری
.۰/۵		سوراخ دار به قطر سانتی متر	2UNP14	۳	۵	نمونه ۲ قطری
.۰/۷۵		سوراخ دار به قطر سانتی متر	2UNP14	۳	۵	نمونه ۳ قطری
.۰/۵		سوراخ دار به قطر ۲۰ با سخت گذشته	2UNP14	۳	۵	نمونه ۴ قطری
.۰/۷۵		سوراخ دار به قطر ۳۰ با سخت گذشته	2UNP14	۳	۵	نمونه ۵ قطری
.۰/۷۵		سوراخ دار در صفحه اتصال کناری	2UNP14	۳	۵	نمونه ۶ قطری
-		معمولی	2UNP14	۳	۵	نمونه ۷ ضربدری
.۰/۷۵		سوراخ دار به قطر ۴۰ با سخت گذشته	2UNP14	۳	۵	نمونه ۸ ضربدری



شکل (۲): منحنی تنش کرنش فولاد

سخت شوندگی می توان بازه هایی را برای تعریف مشخصات مصالح در نظر گرفت که هر بازه محدوده متفاوتی از کرنش ها را پوشش می دهد.

۴- شرح روش اجزای محدود

در این قسمت با استفاده از نرم افزار اجزای محدود ABAQUS [۱۳] و انجام تحلیل های استاتیکی غیرخطی بر روی مدل سه بعدی، به بررسی رفتار مهاربند اصلاح شده طبق شکل (۳) پرداخته شد. المان مورد استفاده از نوع SOLID بوده و تحلیل با لحاظ اثر تغییر شکل های بزرگ انجام گرفت. به دلیل آن که در اکثر استانداردهای معتبر دنیا از الگوی بارگذاری به شیوه افزایش تغییر مکان برای ارزیابی رفتار سازه ها استفاده می شود، بنابراین در این تحقیق نیز به منظور انجام ارزیابی های استاتیکی غیرخطی از الگوی تغییر مکان افزاینده در جهت محور α و در گام های زمانی $1/10$ ثانیه با لحاظ اثر تغییر شکل های بزرگ برای کمانش اعضا استفاده گردید. همچنین سعی شد تا الگوی بارگذاری مانند شکل

شکل (۱): طرح های پیشنهادی

و هشتم به مدل سازی رفتار مهاربند ضربدری اختصاص یافتند. در نمونه هفتم یک نمونه مهاربند ضربدری معکوس بدون هیچگونه تغییر خاص و در نمونه هشتم نیز با ایجاد سوراخی در صفحه اتصال وسط، عملکرد آن مورد بررسی قرار گرفت. سپس با استفاده از روش اجزای محدود به بررسی عملکرد چرخه ای نمونه ها پرداخته شد.

۳- مصالح پکار رفته در تحلیل

فولاد بکار رفته از نوع ST37 بوده و منحنی کرنش آن به صورت دو خطی و مطابق شکل (۲) در نظر گرفته شده است. مصالح مورد استفاده به صورت غیرخطی مدل شده و گزینه سخت شوندگی ترکیبی فعال گردیده است. در واقع این نوع سخت شوندگی ترکیبی از گزینه های ایزوتropیک و سینماتیک بوده و با استفاده از داده هایی از نیمه اول چرخه نمودار تنش - کرنش در آزمایش کشش به دست می آید. در این نوع

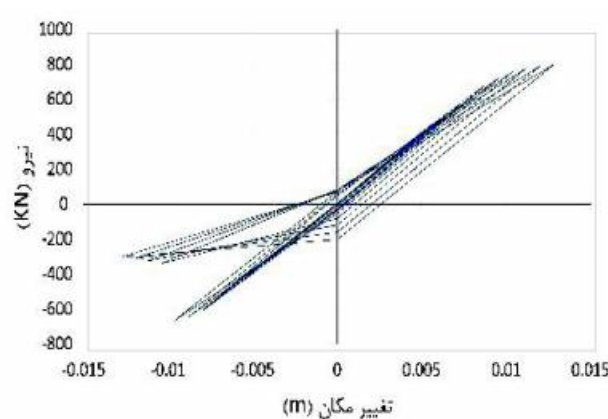
(۴) تقریباً مطابق با بارگذاری عملی به روش کنترل تعییر مکان بر طبق پیشنهاد ATC-24 انجام گیرد که بر طبق آن، چرخه‌های بارگذاری روی نمونه‌های آزمایشگاهی بر مبنای $0.125 \times 0.05 \times 0.01$ و 0.02×0.01 برابر تعییر مکان تسليم در سه چرخه و بیشتر از آن تا تعییر مکان حداقل در ۲ چرخه انجام می‌گرددند [۱۴].

۵- سنجش درستی مدل عددی

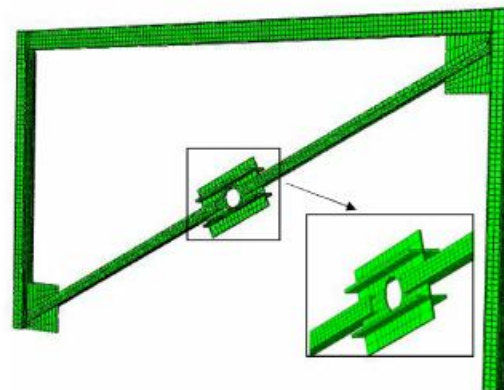
برای بررسی درستی نتایج و اطمینان از یکسانی مشخصات و عناصر به کار رفته در مدل عددی با شرایط واقعی، در ابتدا مدل شماره ۱ واقعی ساخته شده در آزمایشگاه تحت بارگذاری چرخه‌ای به شرح مرجع [۱۵] با تمام جزئیات به استثنای جوش، توسط نرم‌افزار ABAQUS مدلسازی و نتایج به دست آمده از تحلیل نرم‌افزاری با نتایج حاصل از مطالعه آزمایشگاهی مقایسه شدند. همانطور که در شکل‌های (۵) و (۶) ملاحظه می‌شود، ارزیابی منحنی‌های پسماند به دست آمده از تحلیل عددی و نتایج آزمایشگاهی گویای تطبیق مناسب نتایج بوده و اختصار تفاوت موجود نیز حاصل از شرایط بارگذاری و نیز جزئیات مدلسازی از جمله عدم مدلسازی جوش اتصال و نظایر آن است.

۶- بررسی نتایج تحلیل

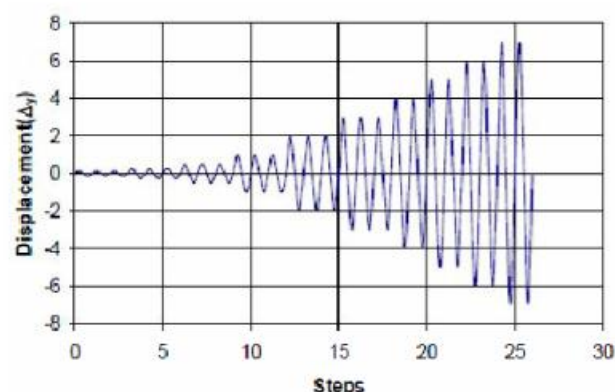
همان‌طور که از ابتدا نیز قابل تصور بود، بررسی نمودار پسماند نمونه اول (شکل (۷)) حاکی از رفتار نامطلوب و غیرشکل‌پذیر مهاربند هم‌محور داشته و افت مقاومت و کاهش محسوس سختی قاب پس از کمانش عضو فشاری قابل مشاهده است. کمانش مهاربند در پرش پایه حدود ۶۵ تن سبب نایابداری منحنی پسماند و افت شدید عملکرد سازه گردیده است که تطابق خوبی را با پار کمانشی محاسباتی مقطع داشته و مؤید صحت نتایج تحلیل است. همان‌طور که اشاره شد، اندک تفاوت موجود ناشی از عواملی نظیر جزئیات مدلسازی و شرایط بارگذاری است. نبود تقارن در رفتار کششی و فشاری مهاربند سبب بروز کمانش زودهنگام شده و عملاً بخش زیادی از ظرفیت مقطع بدون استفاده مانده است.



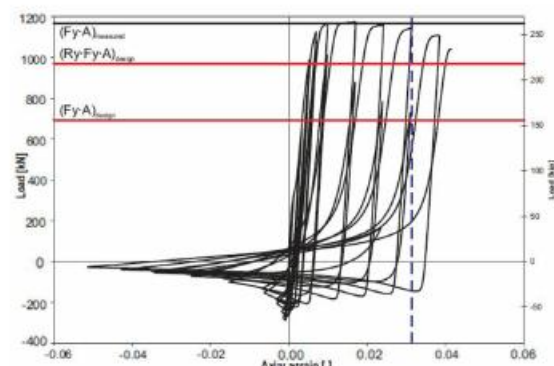
شکل (۷): منحنی پسماند نمونه ۱ (معمولی)



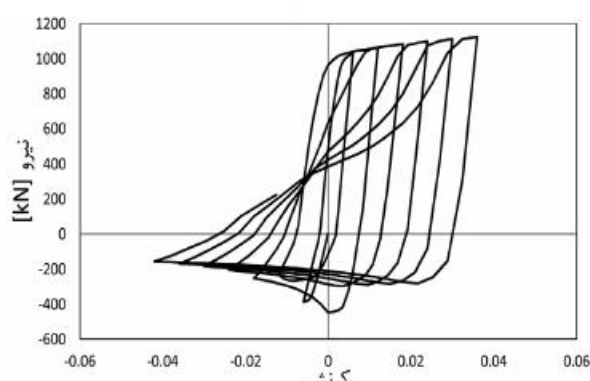
شکل (۳): نمونه اجزای محدود مهاربند قطری پیشنهادی



شکل (۴): بارگذاری پیشنهادی ATC-24

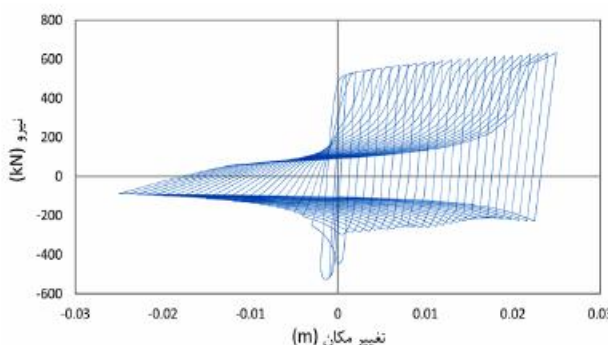


شکل (۵): منحنی پسماند نمونه آزمایشگاهی [۱۵]

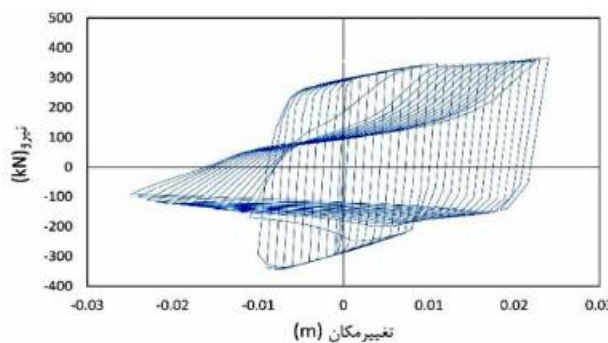


شکل (۶): منحنی پسماند نمونه عددی

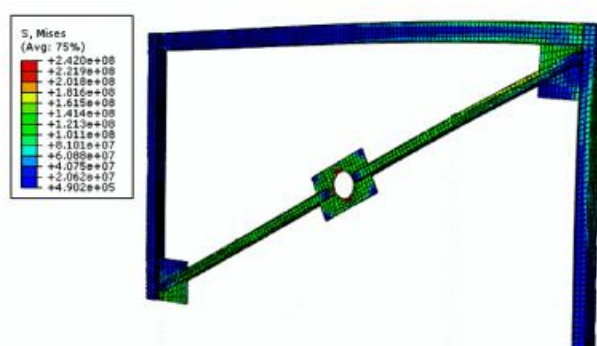
پایدار آنها تحت بارگذاری چرخه‌ای است (شکل‌های ۱۲) و (۱۳)). در این نمونه‌ها کاهش سختی خارج از صفحه مهاربند به واسطه برش عضو اصلی مهاربند و با استفاده از تسممه فلزی جبران گردید. تأثیر افزودن تسممه فولادی برای افزایش ممان اینترسی حول محور ضعیف سبب کاهش احتمال وقوع کمانش خارج از صفحه و بهبود عملکرد چرخه‌ای مهاربند همگرا گردیده است. انتخاب عرض و ضخامت تسممه فولادی به گونه‌ای است که کمبود ممان اینترسی ناشی از کاهش سطح مقطع در راستای محور ضعیف عضو را تا حد زیادی جبران نماید. در این حالت، خفره ایجاد شده در صفحه اتصال وسط نقش عضو مستهلك کننده انرژی را به خوبی ایفا نموده و تغییر شکل مداوم قسمت کاهش یافته و پلاستیک‌شدن مقطع در این قسمت سبب بهبود محسوس عملکرد مهاربند گردیده است.



شکل (۹): منحنی پسماند نمونه دوم ($D/B=+1/5$)



شکل (۱۰): منحنی پسماند نمونه سوم ($D/B=+1/5$)



شکل (۱۱): توزیع تنش فون میسز در نمونه سوم ($D/B=+1/5$)

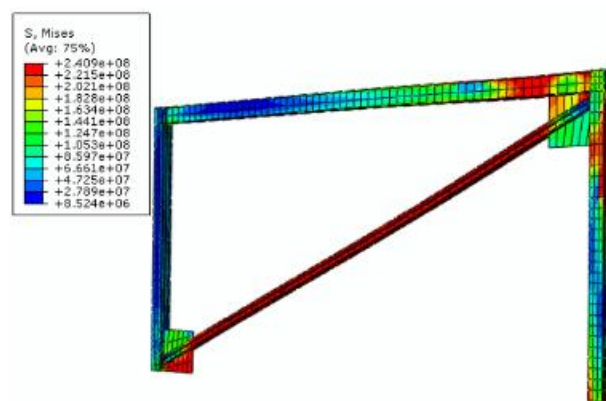
طبق شکل (۸)، نحوه توزیع تنش‌های فون میسز^۱ در نمونه اول حاکم از تمرکز این تنش‌ها در طول مهاربند و نیز محل اتصال به ستون بوده و احتمال وقوع خرابی و خسارت در این نقاط را افزایش می‌دهد. تمرکز شدید تنش در گوشه‌های قاب امکان کمانش صفحه اتصال کناری و نیز وقوع آسیب در اتصالات را بسیار محتمل می‌نماید و باید در طراحی این اعضا مد نظر قرار گیرد.

بررسی منحنی‌های پسماند نمونه‌های دوم و سوم حاکم از رفتار مناسب‌تر نسبت به نمونه معمولی است. اما کاهش شدید ممان اینترسی مقطع در قسمت صفحه اتصال وسط موجب کمانش خارج از صفحه مهاربند و جلوگیری از دست‌یابی به عملکرد مورد انتظار گردید. در هر دو نمونه مذکور وقوع کمانش خارج از صفحه دقیقاً در قسمت صفحه اتصال وسط به وقوع پیوست و سبب کاهش ظرفیت محوری مهاربند و رفتار غیرشکل‌پذیر آن گردید. مقایسه منحنی‌های به دست آمده در هر دو نمونه گویای افت محسوس عملکرد لرزه‌ای پس از کمانش مهاربندها است. اما همان‌طور که در شکل‌های (۹) و (۱۰) نیز ملاحظه می‌شود، نمونه با نسبت D/B بزرگ‌تر به دلیل نرمی بیشتر و امکان اعوجاج در سوراخ دایروی تحت نیروهای کمتر، تغییر مکان‌های بیشتری را تحمل کرده و تا حدود یک سانتی‌متر نیز دارای افت محسوس نیست. اما در نمونه سخت‌تر در تغییر مکان کمتر از $1/5$ سانتی‌متر، کمانش خارج از صفحه حاکم بر رفتار مهاربند بوده و دارای افت شدید سختی و مقاومت گردیده است.

همانطور که در شکل (۱۱) مشاهده می‌گردد، نحوه توزیع تنش‌های فون میسز گویای تمرکز این تنش‌ها در قسمت کاهش یافته و کاهش محسوس آن در سایر قسمت‌ها است. تمرکز شدید تنش‌ها و نیز وقوع کرنش‌های پلاستیک بالا در قسمت فوقانی و تحتانی ناحیه کاهش یافته تحت بارگذاری چرخه‌ای سبب گسیختگی فولاد و در نتیجه افت محسوس عملکرد چرخه‌ای نمونه‌های دوم و سوم گردید.

منحنی‌های رفتاری نمونه‌های چهارم و پنجم گویای رفتار مناسب و

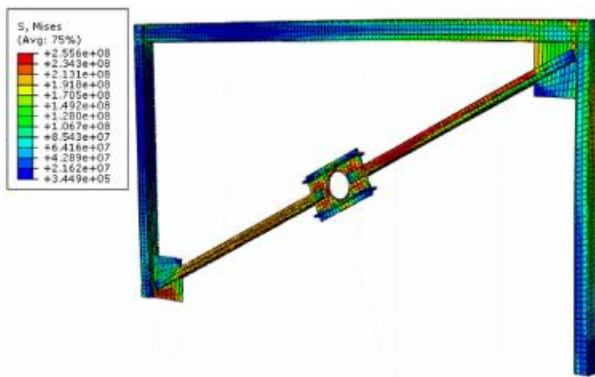
۱ Von-Mises



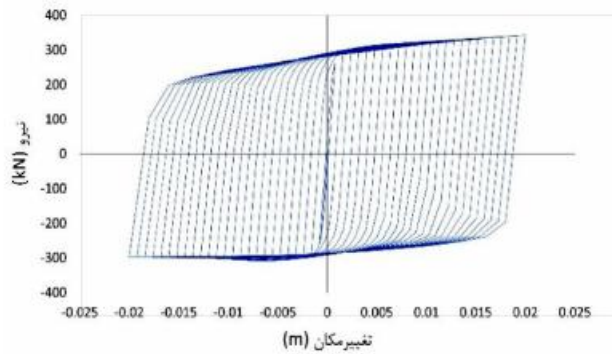
شکل (۸): توزیع تنش فون میسز در نمونه اول (معمولی)

نمونه مشاهده نشد و منحنی پسماند نسبتاً پایداری مطابق با شکل (۱۵) حاصل گردید. گفتنی است که در صورت استفاده از نمونه مذکور باید افزایش ابعاد ورق اتصال کناری برای تأمین طول جوش مورد نیاز عضو اصلی مهاربند و نیز امکان تعییه سوراخ دایروی در آن در طراحی صفحه اتصال مدد نظر قرار گیرد.

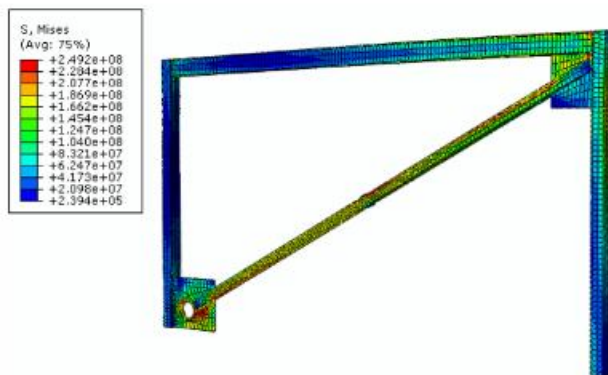
طبق شکل (۱۶)، در این نمونه تمکن شدید تنش‌های فون‌میسز در اطراف سوراخ صفحه اتصال سبب کاهش محسوس تنش در عضو مهاربند گردیده است. همچنین تمکن کرنش‌های پلاستیک در این ناحیه سبب استهلاک انرژی و بهبود رفتار مهاربند تحت بارگذاری چرخه‌ای



شکل (۱۴): توزیع تنش فون‌میسز در نمونه پنجم با سخت‌کننده و $D/B=+0/75$



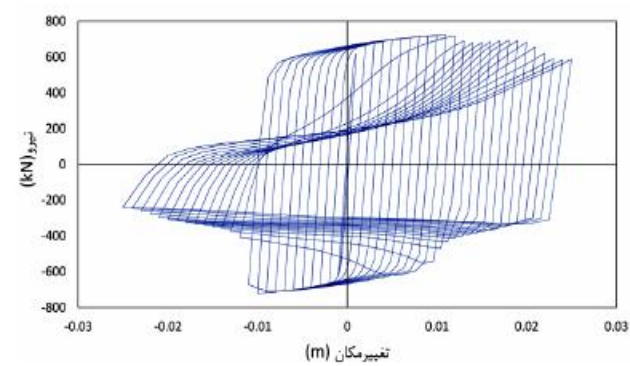
شکل (۱۵): منحنی پسماند نمونه ششم، سوراخ در صفحه اتصال گوشه



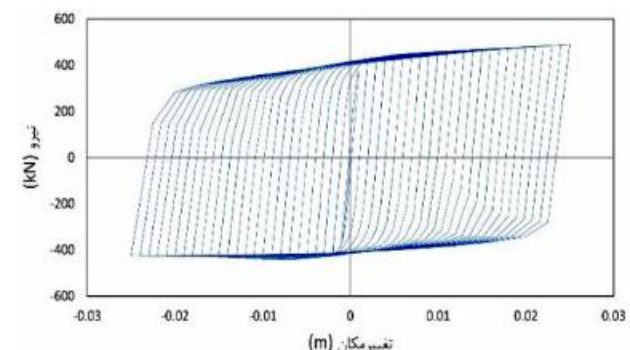
شکل (۱۶): توزیع تنش فون‌میسز در نمونه ششم

علاوه‌بر این، سخت‌کننده‌ها سبب جلوگیری از تمکن شدید تنش در قسمت کاهش‌یافته شده و از پارگی ورق اتصال به خصوص در نسبت‌های بالاتر D/B جلوگیری می‌نمایند (شکل (۱۴)). نمونه پنجم با نسبت قطر سوراخ به عرض ورق بزرگ‌تر رفتار مناسب‌تری داشته و کاهش محسوس برش پایه را موجب گردیده است که این امر موجب کاهش تنش در اعضای اصلی قاب و رفتار مطمئن‌تر لرزه‌ای خواهد بود. به نظر می‌رسد که رفتار متقاضی این نمونه ناشی از سختی داخل صفحه کمتر و در نتیجه امکان تغییر شکل و اعوجاج ورق میانی تحت نیروهای پایین‌تر است. در نهایت تعویق کمانش مهاربند از یکسو و جبران کمبود سختی خارج از صفحه به واسطه اتصال سخت‌کننده و جلوگیری از کمانش خارج از صفحه مهاربند از سویی دیگر سبب بروز رفتار شکل‌پذیر و منحنی پسماند پایدار گردیده است.

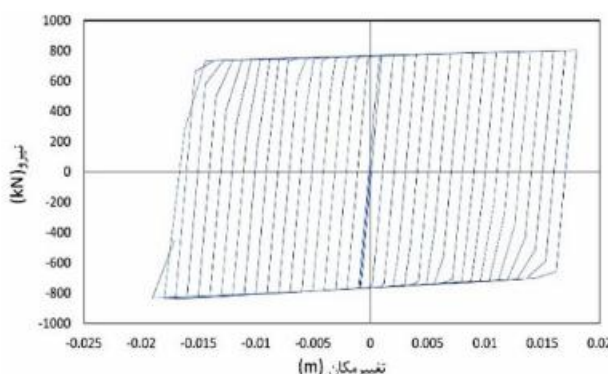
مرکز مهاربند از جمله نقاط مستعد برای رخداد کمانش خارج از صفحه بوده و همان‌طور که در نمونه‌های قبلی فاقد سخت‌کننده نیز مشاهده شد، کاهش مضاعف سختی در این نواحی به واسطه ایجاد سوراخ دایروی و عدم استفاده از سخت‌کننده، موجب تشدید احتمال وقوع کمانش و مانع از دست‌یابی به رفتار مذکور و کاهش نیاز به استفاده از سخت‌کننده روی احتمال رخداد رفتار مذکور و کاهش نیاز به استفاده از سخت‌کننده روی صفحه اتصال برای تأمین ممان اینرسی کاهش‌یافته حول محور ضعیف، نمونه ششم با انتقال اتصال پیشنهادی به درون صفحه اتصال کناری مورد ارزیابی قرار گرفت. کمانش خارج از صفحه در قسمت کاهش‌یافته در این



شکل (۱۲): منحنی پسماند نمونه چهارم با سخت‌کننده و $D/B=+0/5$



شکل (۱۳): منحنی پسماند نمونه پنجم با سخت‌کننده و $D/B=+0/75$

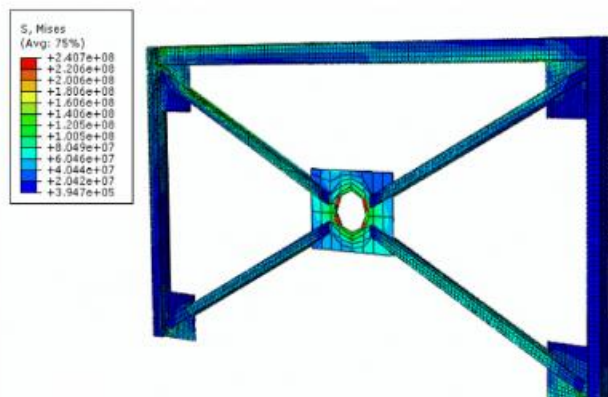


شکل (۱۹): منحنی پسماند نمونه هشتم، مهاربند ضربدری سوراخ دار

تحت نیروهای فشاری تا حدود زیادی کاسته خواهد شد. به نظر می‌رسد که وجود عضو اصلی مهاربند روی ورق اتصال وسط موجب عملکرد آن‌ها به عنوان سخت‌کننده و عدم کمانش این عضو گردیده و نیاز به استفاده از سخت‌کننده مضاعف در این قسمت مرتفع شده است. همچنین تداوم عضو اصلی تا نزدیکی لبه سوراخ مرکزی سبب انتقال مستقیم تنش به لبه‌های سوراخ و رفتار مناسب‌تر صفحه اتصال می‌گردد.

مطابق با شکل (۲۰)، نحوه توزیع تنش‌های فون‌میسز در اطراف سوراخ دایروی حاکی از تمرکز تنش‌ها در اطراف بازشو و کاهش تنش در سایر اعضای اصلی است. در این نمونه نیز تمرکز کرنش‌های پلاستیک در اطراف بازشوی صفحه اتصال وسط سبب استهلاک انرژی و بهبود عملکرد مهاربند است.

به طور کلی و با توجه به نتایج این تحقیق می‌توان گفت که کاربرد عضو پیشنهادی در کنترل ارتعاشات لرزه‌ای سازه‌ها موجب می‌شود تا تنیز شکل‌های غیراتجاعی در آن‌ها متتمرکز شده و خسارات واردۀ به سازه اصلی به شدت کاهش یابد. کانتور تنش فون‌میسز نمونه‌های نهایی، بیانگر آن است که بیشتر تنیز شکل‌های غیراتجاعی در قسمت کاهش‌بافته متتمرکز شده و تنیز شکل آن حاکم بر رفتار مهاربند است. تنیز شکل مداوم در سوراخ دایروی و تبدیل آن به بیضی تحت تنش‌های فشاری و کششی سبب ورود این قسمت به مرحله غیرخطی و افزایش

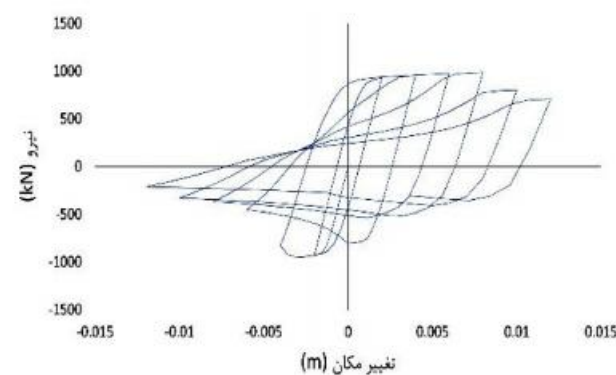


شکل (۲۰): توزیع تنش فون‌میسز در نمونه هشتم

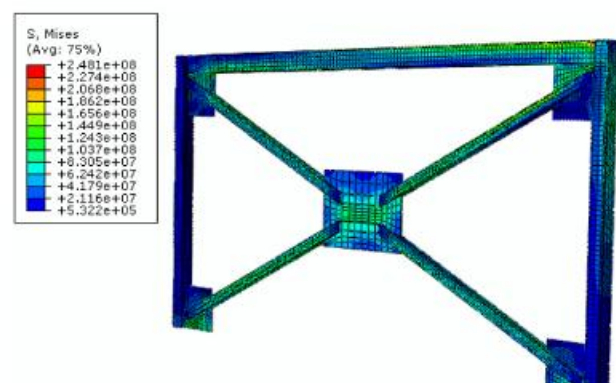
است.

همانطور که در شکل (۱۷) مشاهده می‌شود، منحنی پسماند نمونه هشتم (یعنی مهاربند ضربدری) نیز بیانگر صفت این نوع مهاربند‌ها پس از کمانش عضو فشاری و افت عملکرد چرخه‌ای آن‌ها است. وقوع کمانش در این نوع مهاربند‌ها به دلیل وجود یک المان تحت نیروهای کششی نسبت به مهاربند قطری دارای عملکرد مناسب‌تری بوده و برش پایه بالاتر به دلیل سختی بیشتر مشهود است. همچنین تعویق در وقوع کمانش نسبت به مهاربند قطری نیز از مزایای آن بوده و رفتار غیرشکل‌پذیر پس از کمانش عضو فشاری و لاغری منحنی پسماند در این نوع مهاربند نیز کاملاً مشهود است. مدل مهاربند ضربدری و نحوه توزیع تنش‌ها در شکل (۱۸) ارائه گردیده است.

تأثیر افزودن سوراخ دایروی در صفحه اتصال وسط مهاربند در نمونه هشتم مورد ارزیابی قرار گرفت. کاهش محسوس سختی مهاربند و جذب انرژی کمتر در مهاربند اصلاح شده کاملاً مشهود است. چرخه‌های پسماند پایدار گواه رفتار شکل‌پذیر و مناسب بوده و عدم افت عملکرد تا تعییر مکان در حدود دو سانتی‌متر محسوس است (شکل (۱۹)). به نظر می‌رسد که شکل‌پذیری رفتار خمی مجموعه صفحه اتصال و سوراخ دایروی حاکم بر رفتار سیستم بوده و در صورت طراحی مناسب ابعاد بازشو نسبت به سطح مقطع ورق اتصال، از وقوع کمانش المان مهاربند



شکل (۱۷): منحنی پسماند نمونه هشتم (مهاربند ضربدری معمولی)



شکل (۱۸): توزیع تنش فون‌میسز در نمونه هشتم

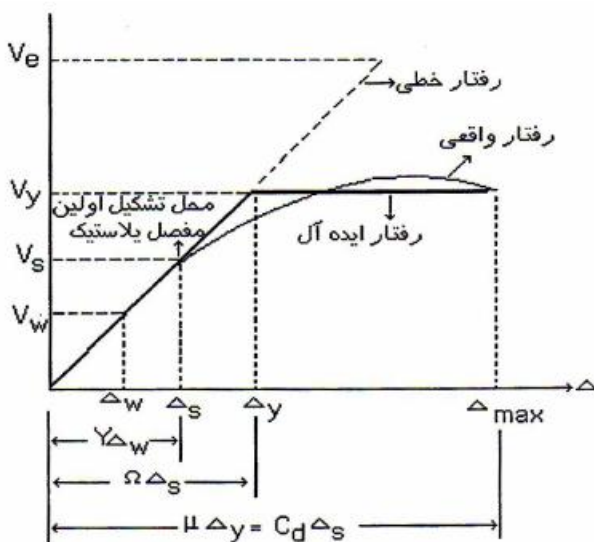
جدول (۲): میزان میرایی ویسکوز معادل

$\zeta_{eq}(\%)$	A_e	A_h	نمونه
۴/۳	۴۲۵	۲۳۰	۱
۱۷/۲۸	۴۲۰	۹۱۲	۲
۱۸/۵۶	۴۳۴	۱۰۱۲	۳
۲۱/۸۴	۴۷۳	۱۲۹۸	۴
۱۹/۸۵	۳۳۴	۸۳۳	۵
۱۸/۸۱	۲۵۹	۶۱۲	۶
۵/۸	۷۲۴	۵۳۰	۷
۱۸/۳	۶۹۸	۱۶۰۵	۸

۸- بررسی شکل پذیری سیستم پیشنهادی
مؤلفه های موثر در محاسبه ضریب شکل پذیری در شکل (۲۲) ارائه گردیده است. به منظور بررسی میزان تأثیر اتصال پیشنهادی در بهبود شکل پذیری سازه، مقادیر مختلف شکل پذیری در نمونه های مختلف مورد ارزیابی قرار گرفت. این نسبت متناسب با تغییر مکان حداکثر به تغییر مکان تسليم بوده و مطابق رابطه (۲) محاسبه می شود:

$$\mu = \frac{\Delta_{max}}{\Delta_y} \quad (2)$$

هرچه ضریب شکل پذیری یک سازه بیشتر باشد، میزان جذب انرژی نیز بالاتر بوده و در نتیجه مقدار ضریب رفتار بزرگتر خواهد بود. نحوه ارتباط ضریب شکل پذیری و ضریب رفتار به عوامل مختلفی بستگی دارد. در سازه های یک درجه آزاد، نوع مصالح، زمان تناوب سیستم، میرایی سازه، نوع بارگذاری، مدل نیرو تغییر شکل، عامل $P-\Delta$ و وضعیت خاک



شکل (۲۲): مؤلفه های موثر در محاسبه ضریب شکل پذیری [۱۷]

میزان استهلاک انرژی است.

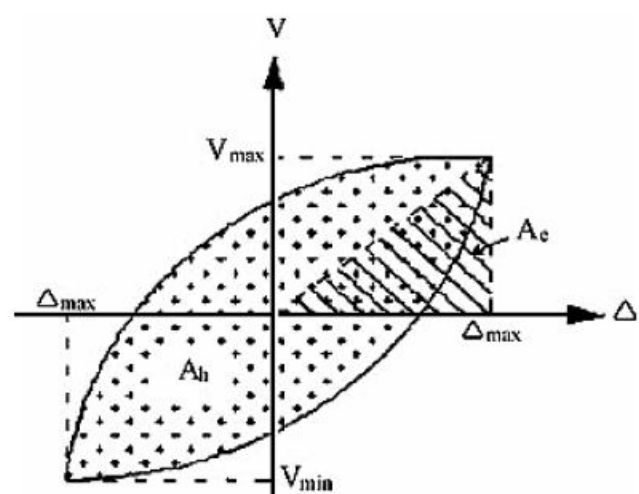
۷- نسبت میرایی ویسکوز معادل

برای مدل سازی ریاضی میرایی یک سیستم معمولاً از نسبت میرایی ویسکوز معادل مطابق با مولفه های نشان داده شده در شکل (۲۱) استفاده می گردد. محاسبه این میرایی پس از ترسیم منحنی های پسماند یک سیستم تحت بارگذاری چرخه ای مطابق رابطه (۱) قابل محاسبه است:

$$\zeta_{eq} = \frac{A_h}{2\pi V_m \Delta_m} = \frac{A_h}{4\pi A_e} \quad (1)$$

که در آن A_h و A_e به ترتیب بیانگر استهلاک انرژی در یک چرخه بارگذاری و میزان انرژی ذخیره شده در یک سامانه الاستیک خطی هستند. با توجه به میرایی ذاتی کم در عناصر باربر جانبی متداول برای کاهش ارتعاشات تحت بارگذاری دینامیکی، سعی در استفاده از اجزای مستهلك کننده انرژی بوده که نتیجه آن، افزایش هزینه تمام شده است. بنابراین یکی از نیازهای طراحی لرزه ای کاربرد ابزار نوین با عملکرد ساده و هزینه پایین است.

با توجه به نتایج تحلیل و نمودارهای پسماند به دست آمده در چرخه های بارگذاری مشخص مطابق بارگذاری ارائه شده در ATC-24 میزان میرایی ویسکوز معادل در جدول (۲) نشان داده شده است. برای امکان مقایسه، کلیه مقادیر نسبت میرایی معادل برای چرخه سوم بارگذاری و برای تغییر مکان ۱۰ میلی متر برای کلیه نمونه ها محاسبه گردید. تمرکز شدید تنش ها در اطراف مقطع کاهش یافته و وقوع کرنش های پلاستیک در این نواحی سبب افزایش استهلاک انرژی و میرایی معادل گردیده اند. نتایج گویای افزایش محسوس میزان میرایی بوده و افزایش ۱۲ تا ۱۷ درصدی مقدار میرایی با توجه به عدم استفاده از سیستم های استهلاک انرژی پیچیده، مؤید عملکرد لرزه ای مؤثر المان پیشنهادی است.



شکل (۲۱): نمودار نیرو-تغییر مکان برای محاسبه میرایی ویسکوز معادل [۱۶]

سبب استفاده بهینه از ظرفیت استهلاک انرژی و رفتار مطلوب سیستم تحت بارگذاری لرزه‌ای است.

اجرای طرح پیشنهادی نسبتاً آسان بوده و اجرای آن در انواع مهاربندهای همگرا از جمله مهاربند ضربه‌ی و شورن بدون صرف هزینه زیاد امکان‌پذیر است. در این روش با ایجاد تغییر اندکی در سیستم‌های متداول، امکان استفاده از ظرفیت استهلاک انرژی موجود در سیستم بدون نیاز به ابزار و ادوات پیچیده فراهم گردیده که می‌توان از آن به ویژگی شاخص و متمایز نسبت به تحقیقات قبلی تعییر نمود. در پایان با توجه به نتایج مناسب به دست آمده در تحلیل عددی، باید ساخت مدل و انجام کار آزمایشگاهی برای بررسی صحت نتایج و مشاهده رفتار واقعی سیستم پیشنهادی در مرحله بعدی تحقیق در دستور کار قرار گیرد.

تکیه‌گاه بر رابطه $\mu/\mu_{\text{مثمر}}$ هستند. در سیستم‌های چند درجه آزاد علاوه بر موارد فوق، عواملی نظریه مشارکت حالت‌های ارتعاشی بالا، ضریب کاهش نیرو و نوع سیستم مقاوم سازه‌ای نیز دخالت دارند.

همان‌طور که در جدول (۳) مشاهده می‌شود، کاهش در سطح مقطع صفحه اتصال سبب کاهش سختی سیستم و در نتیجه کاهش برش پایه حداقل مقطع گردیده است. وجود سخت‌کننده موجب جبران قسمتی از کاهش سختی شده و در مجموع ایجاد مقطع کاهش‌یافته سبب کاهش محسوس ظرفیت محوری مهاربند بین ۸ تا ۵۷ درصد بوده که باید در طراحی مدنظر قرار گیرد. همچنین مقطع کاهش‌یافته سبب انعطاف‌پذیری بیشتر سیستم بوده و جلوگیری از کمانش عضو اصلی مهاربند موجب استفاده از ظرفیت مقطع در تحمل تغییرشکل‌های بیشتر شده که افزایش حدود ۱۳ تا ۱۹ درصدی در شکل‌پذیری سیستم از نتایج آن است.

۱۰- مراجع

- [1] Rezai, M.; Prion, H. G. L.; Tremblay, R.; Bouatay, N. and Timler, P.; "Seismic Performance of Brace Fuse Elements for Concentrically Steel Braced Frames," *Proc. of 3rd International Conference on Behavior of Structures in Seismic Areas*, STESSA2000, Montreal, Canada, pp. 39-46, 2000.
- [2] Oh, S. H.; Kim, Y. J. and Ryu, H. S.; "Seismic Performance of Steel Structures with Slit Dampers," *Engineering Structures*, Vol. 31, pp. 1997-2008, 2009.
- [3] Koken, A. and Koroglu, M. A.; "Waste Rubber Damper using on Steel Beam to Column Connection," *International Journal of Arts and Sciences*, Vol. 5, pp. 217-222, 2012.
- [4] Chan, R. W. K. and Albermani, F.; "Experimental Study of Steel Slit Damper for Passive Energy Dissipation," *Journal of Engineering Structures*, Vol. 30, No. 4, pp. 1058-1066, 2008.
- [5] Benavent Climent, A.; Morillas, L. and Vico, J. M.; "A Study on using Wide-Flange Section Web under Out of Plane Flexure for Passive Energy Dissipation," *Journal of Earthquake Engineering and Structural Dynamics*, Vol. 40, pp. 473-490, 2011.
- [6] Franco, J. M.; Cahis, X.; Gracia, L. and Lopez, F.; "Experimental Testing of a New Anti-Seismic Dissipater Energy Device Based on the Plasticity of Metals," *Journal of Engineering Structures*, Vol. 32, pp. 2672-2682, 2010.
- [7] Maleki, S. and Bagheri, S.; "Pipe Damper, Part I: Experimental and Analytical Study," *Journal of Constructional Steel Research*, Vol. 66, pp. 1088-1095, 2010.
- [8] Malek, S. H.; Pabsang, P. and Lohghalam, A.;

۹- نتیجه‌گیری

با توجه به این که ظرفیت مجموعه قسمت کاهش‌یافته در طراحی این سیستم، کمتر از بار کمانشی مهاربند انتخاب می‌گردد، بنابراین در صورت طراحی مناسب می‌توان از عدم کمانش مهاربند اطمینان حاصل نمود. منحنی پسمند نمونه‌های پیشنهادی نهایی (نمونه‌های ۵، ۶ و ۸) تا اوخر تحلیل و تا تغییر مکان حدود دو سانتی‌متر پایدار بوده و پاریکشیدگی در آن دیده نمی‌شود؛ در حالی که مهاربند معمولی در تغییر مکان در حدود یک سانتی‌متر دچار کمانش و افت محسوس عملکرد لرزه‌ای گردیده است.

کاهش در سطح مقطع صفحه اتصال سبب کاهش محسوس سختی سیستم و در نتیجه کاهش ۸ تا ۵۷ درصدی در برش پایه و میزان انرژی ورودی به سازه گردیده است. علاوه بر این، یکی از مزایای عمدۀ سیستم پیشنهادی، افزایش حدود ۱۲ تا ۱۷ درصدی در میزان میرایی معادل بدون استفاده از ادوات پیچیده بوده و در کاهش ارتعاشات زلزله مفید خواهد بود. افزایش حدود ۱۳ تا ۱۹ درصدی در شکل‌پذیری سیستم پیشنهادی

جدول (۳): میزان شکل‌پذیری و ظرفیت نهایی نمونه‌ها

$F_{\max} (\text{kN})$	μ	نمونه
۸۲۳	۵/۱۱	۱
۶۷۰	۵/۲۲	۲
۳۶۱	۵/۴۳	۳
۷۶۵	۵/۷۴	۴
۴۹۶	۵/۹۸	۵
۳۵۲	۶/۰۸	۶
۹۹۶	۵/۴۲	۷
۸۱۲	۶/۱۳	۸

- [12] Ahmady Jazany, R.; Shademan Heidari, P. and Kayhani, H.; "Using Circular Jagged Plates as Hysteretic Metallic Damper," *14th European Conference on Earthquake Engineering*, Republic of Macedonia, 2010.
- [13] ABAQUS Finite Element Analysis Program. Version 6.10.0, User's Manual, 2010.
- [14] Applied Technology Council; "Guidelines for Seismic Testing of Components of Steel Structures," *Report of ATC-24*, 1992.
- [15] Tremblay, R. and Oliveira, C.; "Quasi-Static Cyclic Testing of Individual Full-Scale Circular Steel Tubular Braces Equipped with Cast Connex High-Strength Connectors," *University of Toronto*, Department of Civil Engineering, Publication, No 2008-01, 2008.
- [16] Priestley, M. J.; Seible, F. and Calvi, G. M.; "Seismic Design and Retrofit of Bridges," *John Wiley and Sons Inc.*, New York, 1996.
- [17] Motamed, M.; Nataeghi-Elahi, F. and Ziaeifar, M.; "Introducing New Passive Damper and Comparing with TADAS," *1st Iranian Conference on Retrofit and Rehabilitation*, Tehran, Iran, 2005 (in Persian).
- [18] Motamed, M.; Nataeghi-Elahi, F. and Ziaeifar, M.; "Laboratory Study on the Application of Accordion Metallic Damper in Vibration Reinforcement of Steel Frame," *5th International Conference on Seismology and Earthquake Engineering*, Tehran, Iran, 2007 (in Persian).
- [19] Abbasnia, R.; Vetr, M. Gh. and Kafi, M. A.; "Investigation the Performance of Ductile Element in Concentrically Braced Frames of Steel," *7th International Congress on Civil Engineering*, Tehran, Iran, 2006 (in Persian).
- [20] Tirca, L.; Danila, N. and Caprarelli, C.; "Numerical Modeling of Dissipative Pin Devices for Brace-Column Connections," *Journal of Constructional Steel Research*, Vol. 94, pp. 137–149, 2014.